

# 信息

## 量子信息

© L<sup>e</sup>P<sub>t</sub>C (萌狸)

笔记项目主页: <http://leptc.github.io/lenote>



**精**

(同〈量子〉)

Nielsen & Chuang. Quantum Computation and Quantum Information. Cambridge

└ 中译: 赵千川. 量子计算和量子信息 (一: 量子计算部分, 二: 量子信息部分). 清华大学出版社

**参**

Preskill@Caltech 讲义

## 基本实验

电子通过双缝有干涉条纹 (Merli 1976 电子双棱镜, 此前一直是思想实验) → **波粒二象性**  
[ 发生干涉时, 粒子性  $|c_1|^2 + |c_2|^2$ , 波动性  $|c_1 + c_2|^2 = |c_1|^2 + |c_2|^2 + 2|c_1||c_2|\cos\theta$ , 即多了条纹 ]  
Zeilinger Tonomura

**累积实验** 每次只发射一个粒子, 统计打在接收屏上的位置, 有条纹 (蔡林格 1982 中子, 殿村 1989 电子)  
complementarity principle

**互补原理 / 并协原理** (玻尔 1927) 微观物体的波动性与粒子性互补

which way

**哪条路实验** 监测每个粒子通过了哪条缝, 监测手段提取信息能力越强, 条纹衬比度越低 (皮查德 1995, 用共振光照原子) 退相干的直接原因, 不是光子散射带来动量干扰, 而是提取信息后带来随机相移

Scully micromaser

(斯卡利 1991, 激发态原子通过微波激射腔, 可从哪个腔中有光子判断哪条路) 退相干与  $\Delta x \Delta p$  无关  
退相干源于原子态和腔态的纠缠, 若又擦除纠缠信息 (对腔态偏迹), 则相干恢复

quantum eraser

**量子擦除实验** (乔瑞宇 1992) 正交偏振的光无条纹, 再做同向检偏可恢复条纹 (但记录粒子数减半)

delayed choice

Wheeler

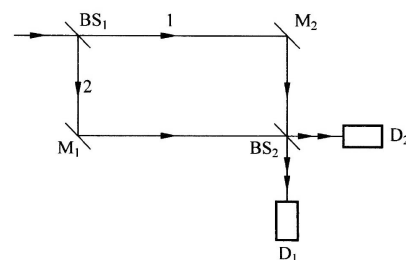
Hellmuth

**延迟选择实验** (惠勒 1978) (赫尔穆特 1987 实验)

无  $BS_2$  时,  $D_1 D_2$  各 50%, 有  $BS_2$  时, 光程差可调, 一个 0% 另一个 100%

延迟选择: 在光脉冲通过  $BS_1$  后再决定是否放入  $BS_2$

结论: 和非延迟的实验结果相同



## SG 实验

Stern-Gerlach experiment

**施特恩 - 格拉赫实验** (1922 银原子 ( $4d^{10}5s^1$  核  $\frac{1}{2}^-$ ), 1927 氢原子) 加热射出一束中性原子, 沿  $y$  方向通过  $z$  方向有梯度的磁场, 原子束分裂成分立的两束 → 电子除轨道角动量外还有内部转动自由度 (电子自旋)

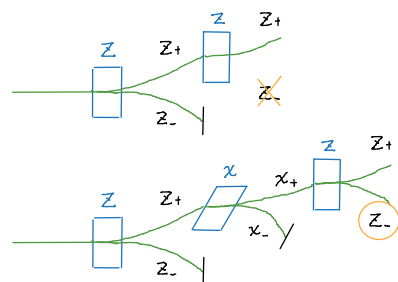
(如果用自由电子束, 自旋和轨道磁矩带来的分裂相当)

sequential Stern-Gerlach experiment

**级联施特恩 - 格拉赫实验** 取  $S_z^+$  束后测  $S_x$  得  $S_x^\pm$  (按经典应都得零), 取  $S_z^+$  后测  $S_x$  并取  $S_x^+$  后又测  $S_z$  得  $S_z^\pm \rightarrow \hat{S}_x, \hat{S}_z$  不能同时测准

可用经典的偏振光类比:  $S_z^\pm$  是  $0^\circ, 90^\circ$  线偏,  $S_x^\pm$  是  $45^\circ, 135^\circ$  线偏,  $S_y^\pm$  是  $L, R$  圆偏

**注** 如果测量的可观测量仅参照一个基底, 量子实验的确允许经典解释



## 贝尔态

Bell state / EPR pair

**贝尔态 / EPR 对** 2 量子比特, 关联  $\frac{1}{\sqrt{2}}(|00\rangle \pm |11\rangle)$ , 反关联  $\frac{1}{\sqrt{2}}(|01\rangle \pm |10\rangle) \rightarrow$  此 4 态称为 **贝尔基**

Einstein-Podolsky-Rosen paradox

space-like separated

**EPR 佯谬** (爱因斯坦 1935) 即使是类空分隔的纠缠对, 测量其中一个也会立刻导致另一个坍缩

① 量子力学认为未被观察的粒子尚不具有物理性质的测量值 → 导致存在超距作用

hidden variable

② 本来是有确定值的, 量子力学理论不完备, 引入某个隐藏物理量 **隐变量** 可使测量值能准确预测

Alice 和 Bob 分别持 EPR 对中的一个, 分别沿  $\vec{a}, \vec{b}$  方向测自旋, 得结果  $\pm 1$  (实验的话存在丢失还有 0)

spin correlation

两人结果相乘, 重复多次实验求平均, 定义 **自旋关联**  $\langle \vec{a}, \vec{b} \rangle \equiv \langle \psi | \hat{\sigma}_a \hat{\sigma}_b | \psi \rangle \xrightarrow{\text{量子力学}} -\cos(\vec{a} \wedge \vec{b})$  (高量)

Clauser Horne Shimony Holt

local hidden variable theory

**CHSH 不等式** Alice 沿  $a_1, a_2$  方向测, Bob 沿  $b_1, b_2$  测, 可证明任何 **局域隐变量理论** 会得

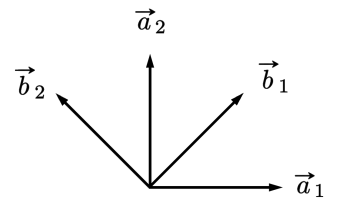
$$|\langle \vec{a}_1, \vec{b}_1 \rangle + \langle \vec{a}_2, \vec{b}_1 \rangle + \langle \vec{a}_2, \vec{b}_2 \rangle - \langle \vec{a}_1, \vec{b}_2 \rangle| \leq 2$$

既然实验结果预先确定, 则可以被列举, 设系统处于测得  $(\alpha_1, \alpha_2, \beta_1, \beta_2)$  态的概率为  $p$ , 计算:

$$a_1 b_1 + a_2 b_1 + a_2 b_2 - a_1 b_2 = (a_1 + a_2) b_1 + (a_2 - a_1) b_2 = \pm 1 \quad (\text{因为要么 } a_1 = a_2 \text{ 或 } a_1 = -a_2, \text{ 必有一项为零})$$

另可以证明  $\langle \alpha_1 \beta_1 + \alpha_2 \beta_1 + \alpha_2 \beta_2 - \alpha_1 \beta_2 \rangle = \langle \alpha_1 \beta_1 \rangle + \langle \alpha_2 \beta_1 \rangle + \langle \alpha_2 \beta_2 \rangle - \langle \alpha_1 \beta_2 \rangle$ , 故测量结果平均值

$$\langle \alpha_1 \beta_1 + \alpha_2 \beta_1 + \alpha_2 \beta_2 - \alpha_1 \beta_2 \rangle \equiv \sum_{\alpha_1 \alpha_2 \beta_1 \beta_2} p(\alpha_1, \alpha_2, \beta_1, \beta_2) (\alpha_1 \beta_1 + \alpha_2 \beta_1 + \alpha_2 \beta_2 - \alpha_1 \beta_2) \\ \leq \sum_{\alpha_1 \alpha_2 \beta_1 \beta_2} p(\alpha_1, \alpha_2, \beta_1, \beta_2) \times 2 = 2$$



对于量子力学, 沿如图方向可得  $|\langle \vec{a}_1, \vec{b}_1 \rangle + \langle \vec{a}_2, \vec{b}_1 \rangle + \langle \vec{a}_2, \vec{b}_2 \rangle - \langle \vec{a}_1, \vec{b}_2 \rangle| =$

$\cos \frac{\pi}{4} + \cos \frac{\pi}{4} + \cos \frac{\pi}{4} - \cos \frac{3\pi}{4} = 2\sqrt{2}$  **注** CHSH 不等式的代数上限是 4 (Popescu 1994)  
non-signalling box stronger-than-quantum Popescu-Rohrlich box information causality

(对于非信令盒子模型, 数学上还存在比量子还强的关联 (如 PR 盒), 但都违背 **信息因果律**)

(CHSH 1969 等) 实验验证贝尔不等式被破坏, 可能要放弃定域性或实在性

locality

**定域性**

reality

**实在性**

物体只能被其紧接的周围所直接影响 物理性质独立于观测行为而存在

## GHZ 态

Greenberger-Horne-Zeilinger state

**GHZ 态** (1990) 3 量子比特纠缠态,  $z$  基换到  $x$  基下:

$\frac{1}{\sqrt{2}}(|000\rangle + |111\rangle) = (|x_+x_+x_+\rangle + |x_+x_-x_-\rangle + |x_-x_+x_-\rangle + |x_-x_-x_+\rangle)$  ( $\frac{1}{\sqrt{2}}(|000\rangle - |111\rangle)$  则是所有位取反)

特点: 任意 2 位已知后, 可确定第 3 位的态  $\rightarrow$  **量子秘密共享**

$[\frac{1}{\sqrt{2}}(|000\rangle - |111\rangle) = \frac{1}{2\sqrt{2}}[(|y_+\rangle + |y_-\rangle)^{\otimes 2}(|x_+\rangle + |x_-\rangle) - \frac{1}{i}(|y_+\rangle - |y_-\rangle)^{\otimes 2}(|x_+\rangle - |x_-\rangle)] = |y_+y_+x_+\rangle + \dots]$

Alice, Bob, Charlie 各自沿  $x$  或  $y$  测自旋, 现实发现, 当两人测  $Y$  一人测  $X$  时, 结果之积总为  $+1$

结果预先确定, 照旧列举, 在“任意  $2Y1X$  得  $+1$ ”的限制下只有 8 种可能的状态组合:

$\begin{bmatrix} x_1 & x_2 & x_3 \\ y_1 & y_2 & y_3 \end{bmatrix}$  都  $=1$ ,  $\begin{bmatrix} 1 & -1 & -1 \\ 1 & -1 & -1 \end{bmatrix}$  等 3 种,  $\begin{bmatrix} 1 & -1 & -1 \\ -1 & 1 & 1 \end{bmatrix}$  等 3 种,  $\begin{bmatrix} 1 & 1 & 1 \\ -1 & -1 & -1 \end{bmatrix}$

因此当三人都测  $x$  时结果为  $+1$ , 然而量子力学预测结果为  $-1$  (用的是  $|\text{GHZ}_-\rangle$  态)

**GHZ 定理** 三粒子纠缠态, 存在一组对易可观测量, 直接确定地(而非统计地)给出与经典不相容的结果

(潘建伟 1999 实验实现) 用光的两偏振态  $|H\rangle, |V\rangle$

用一束紫外脉冲产生两对(4 个)纠缠光子, 一个作触发, 脉冲

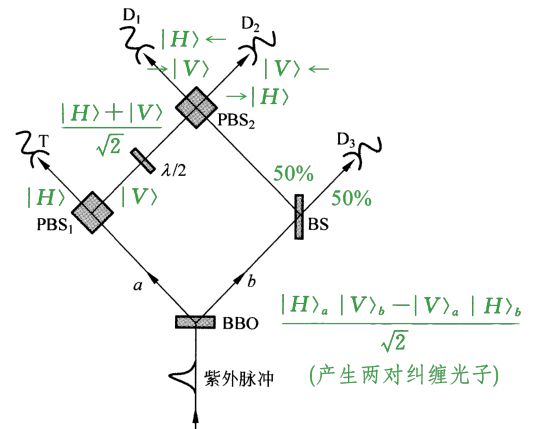
(200 fs) 远小于相干时间 (500 fs) 以保证纠缠

$T, D_{1\sim 3}$  同时触发时,  $T$  必然记录  $|H\rangle$ , 其伴侣必为  $|V\rangle$  沿  $b$ , 另一对光子  $a$  束为  $|V\rangle$ , 在  $\text{PBS}_1$  全反射后变叠加态,  $b$  束为  $|H\rangle$ , 有两种可能:

① 伴侣到  $D_3$ ,  $a$  束 50% 的  $|H\rangle$  进  $D_2$ ,  $b$  束进  $D_1$ , 得  $|HHV\rangle$

② 伴侣到  $D_2$ ,  $a$  束 50% 的  $|V\rangle$  进  $D_1$ ,  $b$  束进  $D_3$ , 得  $|V VH\rangle$

最终产生  $\frac{1}{\sqrt{2}}(|HHV\rangle + |V VH\rangle)$  [加号另证]



## 量子信息

quantum computation QCP

① **量子计算** 通用量子计算, 量子模拟计算

communication cryptography

QKD

QSS

QSDC

QAA

② **量子通信** ① 量子密码学: 量子密钥分发, 量子秘密共享, 量子安全直接通讯, 量子振幅放大  
 teleportation dense coding steering

② 量子通讯: 超空间传态, 密集编码, 量子导向, 量子成像

metrology

③ **量子计量** 量子钟

## 量子比特

qubit

任何双态量子体系都可称为一个 **量子比特**, 状态记为  $|\psi\rangle = a|0\rangle + b|1\rangle \xrightarrow[\text{取 } a \text{ 为实}]{\text{归一}} \cos \frac{\theta}{2} |0\rangle + e^{i\phi} \sin \frac{\theta}{2} |1\rangle$

(注: 量子信息的习惯是  $|0\rangle$  代表  $|z_+\rangle$ ,  $|1\rangle$  代表  $|z_-\rangle$ , 这样矩阵就左边从  $|00\dots\rangle$  编码开始)

**等效内存**  $n$  量子比特的状态含  $2^n$  个复振幅 (不进行测量, 则隐含大量信息, 且随比特数指数上升)

qutrit

(注: 用三级量子系统的任何差别理论上来看都可忽略)

Bloch sphere

$|\psi\rangle$  可看作二维复向量空间中单位向量  $\rightarrow$  **布洛赫球** 面

任意混合态量子比特的密度矩阵可写为  $\hat{\rho} = \frac{1}{2}(I + \vec{r} \cdot \vec{\sigma})$ ,  $|\vec{r}| \leq 1$

**极化矢量**  $\vec{r} = |r|(\sin\theta \cos\phi, \sin\theta \sin\phi, \cos\theta) = \langle\psi|\hat{\sigma}|\psi\rangle =$

$$\begin{bmatrix} a^* & b^* \end{bmatrix} \begin{pmatrix} \hat{\sigma}_x \\ \hat{\sigma}_y \\ \hat{\sigma}_z \end{pmatrix} \begin{bmatrix} a \\ b \end{bmatrix} = \begin{pmatrix} a^*b + b^*a, i(b^*a - a^*b), a^*a - b^*b \end{pmatrix}$$

$\text{tr}(\hat{\rho}^2) = \frac{1}{2}(1 + |\vec{r}|^2)$ , 当  $a^2 + b^2 = 1$  时  $|\vec{r}| = 1$  表示 **纯态**

$|\vec{r}| = 0$  时  $\hat{\rho} = \frac{I}{2}$  表示 **完全混合态** (不仅指  $|0\rangle, |1\rangle$  出现概率相等, 而且所有相对相角  $\phi$  都有可能出现)

$$\hat{\rho}^{\text{纯态}} = \begin{bmatrix} a^*a & b^*a \\ a^*b & b^*b \end{bmatrix} \xrightarrow{\text{一般}} \frac{1}{2} \begin{bmatrix} 1+r_z & r_x - ir_y \\ r_x + ir_y & 1-r_z \end{bmatrix} \quad \text{例 } |z_+\rangle: \begin{bmatrix} 1 & 0 \\ 0 & 0 \end{bmatrix}, |z_-\rangle: \begin{bmatrix} 0 & 0 \\ 0 & 1 \end{bmatrix}, |x_+\rangle: \frac{1}{2} \begin{bmatrix} 1 & 1 \\ 1 & 1 \end{bmatrix}, |x_-\rangle: \frac{1}{2} \begin{bmatrix} 1 & -1 \\ -1 & 1 \end{bmatrix}$$

affine map

**定理** 任意保迹量子运算的图像是布洛赫球到自身的仿射映射, 么正变换对应布洛赫球面的旋转

## 测量

量子测量由一组测量算符  $\{\hat{X}_x\}$  描述, 这些算符作用在态矢上以概率  $p_x = \langle\psi|\hat{X}_x^\dagger \hat{X}_x|\psi\rangle$  得实验结果  $x$ , 测量后体系的状态变成  $\frac{1}{\sqrt{p_x}} \hat{X}_x|\psi\rangle$  (要求测量算符完备  $\sum \hat{X}_x^\dagger \hat{X}_x = I$ , 从而概率和  $\sum p_x = 1$ )

**推论** 先测  $X_i$  再测  $X_j$  等价于单次测量  $X_k \equiv X_j X_i$

Positive Operator-Valued Measure

**POVM 测量** 可知  $\hat{E}_x \equiv X_x^\dagger \hat{X}_x$  是半正定算符, 满足完备性(不要求正交)的  $\{\hat{E}_x\}$  称为一个 POVM

(不考虑测量后处于什么状态, 不必具有可重复性, 适用于如光子被测量后被吸收了的情况)

projective measurement

$[\hat{E}_x \text{ 构成正交投影算符}] \rightarrow$  **投影测量** 厄米算符  $\hat{X}$  有谱分解  $\hat{X} = \sum x \hat{P}_x$ , 投影算符  $\hat{P}_x = |x\rangle\langle x|$ ,

collapse

则测得  $x$  的概率为  $p_x = \langle\psi|\hat{P}_x|\psi\rangle$ , 测量后状态坍缩到本征态  $\frac{1}{\sqrt{p_x}} \hat{P}_x|\psi\rangle$

repeatability

投影测量有 **可重复性** 坍缩后重复测量, 每次都得  $x$ , 不改变状态

**定理** 非正交的量子态不能可靠区分 (以概率 1 得不同结果) (否则就可以利用纠缠对超光速通讯了)

[设存在测量  $E_i, i=1, 2$  使  $\langle\psi_i|E_i|\psi_i\rangle=1$ , 由测量算符完备, 有  $\sum_i \langle\psi_1|E_i|\psi_1\rangle=1$ , 从而  $\langle\psi_1|E_2|\psi_1\rangle=1-1=0$  然而  $|\psi_1\rangle, |\psi_2\rangle$  并非正交, 与  $\langle\psi_2|E_2|\psi_2\rangle=1$  矛盾]

**例** 要区分  $|\psi_1\rangle=|0\rangle, |\psi_2\rangle=\frac{1}{\sqrt{2}}(|0\rangle+|1\rangle)$ , 靠投影测量有概率误判, 用 POVM 测量可不误判 (代价是有概率不能区分):  $E_1 = \frac{\sqrt{2}}{1+\sqrt{2}} |1\rangle\langle 1|, E_2 = \frac{\sqrt{2}}{1+\sqrt{2}} \frac{1}{2} (|0\rangle - |1\rangle)(\langle 0| - \langle 1|), E_3 = I - E_1 - E_2$

测得 1 必为  $\psi_2$ , 测得 2 必为  $\psi_1$ , 测得 3 无法区分

quantum money

**量子钞** 银行在发行的钞票上印上经典序列号和非正交量子比特序列, 只有银行保存这两者匹配的列表, (可信赖的) 商家想验证真伪时, 把经典序列号告诉银行, 银行指示商家按哪种基来测量量子比特

## 量子门

quantum gate

**量子门** 么正性是唯一的要求 (故总可逆)

## 单比特

Pauli gate

**泡利门**  $X = \begin{bmatrix} 0 & 1 \\ 1 & 0 \end{bmatrix}$  (量子非门, 交换幅度),  $Y = \begin{bmatrix} 0 & -i \\ i & 0 \end{bmatrix}, Z = \begin{bmatrix} 1 & 0 \\ 0 & -1 \end{bmatrix}$

Hadamard gate

**哈达玛门**  $H = \frac{X+Z}{\sqrt{2}} = \frac{1}{\sqrt{2}} \begin{bmatrix} 1 & 1 \\ 1 & -1 \end{bmatrix}$ , 即  $|0\rangle \rightarrow |x_+\rangle = \frac{1}{\sqrt{2}}(|0\rangle + |1\rangle)$ ,  $|1\rangle \rightarrow |x_-\rangle = \frac{1}{\sqrt{2}}(|0\rangle - |1\rangle)$ ,  $H^2 = I$  (先绕  $y$  转  $90^\circ$ , 再绕  $x$  转  $180^\circ$ )

**相位门**  $S = \begin{bmatrix} 1 & 0 \\ 0 & i \end{bmatrix}$  ( $Z$  门的根号)  $\left[ \frac{\pi}{8} \text{ 门} \right] T = \begin{bmatrix} 1 & 0 \\ 0 & e^{i\pi/4} \end{bmatrix} \propto \hat{R}_z(\frac{\pi}{4})$  ( $S$  门的根号)

$$[e^{i\hat{\sigma}_n\theta} = I \cos \theta + i\hat{\sigma}_n \sin \theta] \quad \hat{R}_z(\theta) = \begin{bmatrix} e^{-i\theta/2} & 0 \\ 0 & e^{i\theta/2} \end{bmatrix}, \quad \hat{R}_x(\theta) = \begin{bmatrix} \cos \theta/2 & -i \sin \theta/2 \\ -i \sin \theta/2 & \cos \theta/2 \end{bmatrix}, \quad \hat{R}_y(\theta) = \begin{bmatrix} \cos \theta/2 & -\sin \theta/2 \\ \sin \theta/2 & \cos \theta/2 \end{bmatrix}$$

**定理** 任意单量子比特门 ( $2 \times 2$  么正矩阵) 可分解为  $U = e^{i\alpha} \hat{R}_n(\theta) = e^{i\alpha} \hat{R}_z(\beta) \hat{R}_y(\gamma) \hat{R}_z(\delta) \rightarrow e^{i\alpha} A X B X C$

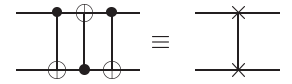
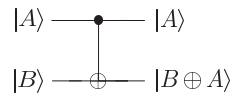
**常用** 线路恒等式  $XYX = -Y$ ,  $X\hat{R}_y(\theta)X = \hat{R}_y(-\theta)$ ,  $HXH = Z$ ,  $HYH = -Y$ ,  $HZH = X$ ,  $HTH = \hat{R}_x(\frac{\pi}{4})$

## 多比特

Controlled NOT

**受控非门** |控制  $c$ , 目标  $t$   $\rightarrow |c, t \oplus c\rangle$  (控制比特为 0 则目标比特不变, 为 1 则翻转)

$$U_{CN} = \begin{bmatrix} 1 & 0 & 0 & 0 \\ 0 & 1 & 0 & 0 \\ 0 & 0 & 0 & 1 \\ 0 & 0 & 1 & 0 \end{bmatrix} \quad U_{SW} = \begin{bmatrix} 1 & 0 & 0 & 0 \\ 0 & 0 & 1 & 0 \\ 0 & 1 & 0 & 0 \\ 0 & 0 & 0 & 1 \end{bmatrix} \quad H^{\otimes 2} = \begin{bmatrix} 1 & 1 & 1 & 1 \\ 1 & -1 & 1 & -1 \\ 1 & 1 & -1 & -1 \\ 1 & -1 & -1 & 1 \end{bmatrix}$$



swap

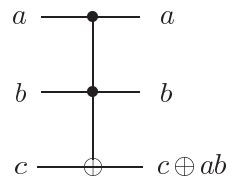
**对换** 3 个 CNOT, 中间的反放  $[|a, b\rangle \rightarrow |a, a \oplus b\rangle \rightarrow |a \oplus (a \oplus b), a \oplus b\rangle = |b, a \oplus b\rangle \rightarrow |b, a\rangle]$

$n$  量子比特上的  $H$  变换:  $H^{\otimes n} = \frac{1}{\sqrt{2^n}} \sum_{a,b} (-1)^{ab} |a\rangle \langle b|$

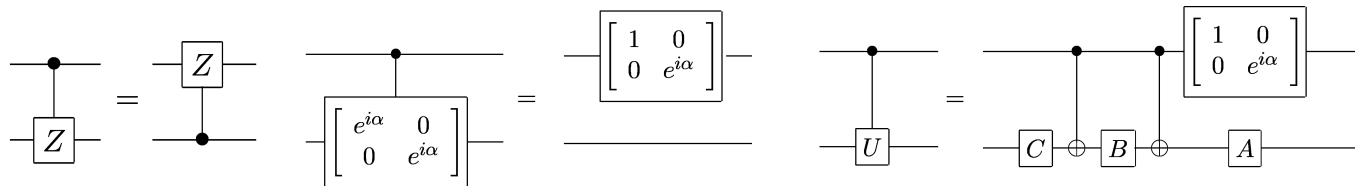
Toffoli / CCNOT

**控控非门**  $C^2(X)$ , 可逆, 逆是自身, 可实现与  $c=0$ , 非  $a=b=1$ , 与非  $c=1$

$\rightarrow$  故量子机可以做经典计算 (量子机原则上不需要经典部分, 但有的话会更方便)



一般的 **受控  $U$  门** 实心点表示 1 时起作用, 空心圈表示 0 时起作用



用 Toffoli 门可构造出经典的可逆电路 (完成计算之后把逻辑门逆序再操作一遍) 计算过程不消耗能量

**通用门** 最早确认的一组是受控非门 (CNOT) 加两个非平行的单量子比特门 (如  $H$  门加  $\frac{\pi}{8}$  门), 可以任意精度近似任意酉运算, 后 (Yaoyun Shi 2002) 证明只用 Toffoli 门加上单比特的  $H$  门就可实现任意量子线路 (量子计算不过就是经典计算多个  $H$  门)

## 量子线路

initialization operation

rotation superposition

entanglement detection

① 初始化 ② 操作 (经典: 单:NOT, 双:NAND, 量子: 单:旋转  $\rightarrow$  叠加, 双:CNOT  $\rightarrow$  纠缠) ③ 探测 acyclic

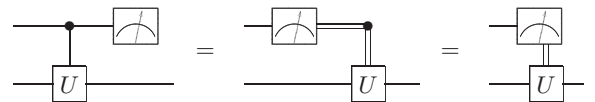
**无环** 量子线路不允许回路 (即无反馈) 线路不允许汇合, 禁止扇入扇出 (因为不可逆)

measurement

**测量** 把单量子比特状态变成 (依概率的) 经典比特状态, 经典线路用双线表示

principle of deferred measurement

**推迟测量原理** 总可以把测量从量子线路的中间步骤移到线路末端 (如果中间需用到测量结果, 可用量子运算代替)



principle of implicit measurement

**隐含测量原理** 量子线路中任何未终结的量子连线 (未被测量量子比特) 总可视作被测量

$[$  第一量子比特的约化密度矩阵不受第二量子比特上测量的影响  $]$

**结论** 要使测量可逆, 它必须不揭示被测量子态的任何信息

no-cloning theorem

**不可克隆定理** 不可能制作未知量子态的拷贝  $[$  量子理论是线性的  $]$  (可以有以概率成功克隆的方法)

$[$  若  $\exists U$  能  $|00\rangle \xrightarrow{U} |00\rangle, |10\rangle \xrightarrow{U} |11\rangle$ , 则对于叠加态  $|\psi\rangle = \alpha|0\rangle + \beta|1\rangle$  有  $|\psi 0\rangle \xrightarrow{U} (\alpha|00\rangle + \beta|11\rangle) \neq |\psi\rangle \otimes |\psi\rangle$   $]$

( $U_{CN}$  可以拷贝经典态)



tomography

**量子态层析** 通过反复制备相同量子态, 以不同方式测量, 建立量子态的完整描述

quantum repeater

**量子中继器** 不能直接放大或测量, 把距离切成很多段, 接连做量子传态

entanglement distillation

跑一段距离后纯度会降低 → **纠缠纯化**

## 贝尔态应用

4 种贝尔态可由 H 门后 CNOT 制备, 顺序反过来即为 **贝尔基测量**

$$\begin{bmatrix} 1 & 0 & 0 & 0 \\ 0 & 1 & 0 & 0 \\ 0 & 0 & 0 & 1 \\ 0 & 0 & 1 & 0 \end{bmatrix} \frac{1}{\sqrt{2}} \begin{bmatrix} 1 & 0 & 1 & 0 \\ 0 & 1 & 0 & 1 \\ 1 & 0 & -1 & 0 \\ 0 & 1 & 0 & -1 \end{bmatrix} \begin{bmatrix} |00\rangle \\ |01\rangle \\ |10\rangle \\ |11\rangle \end{bmatrix} = \frac{1}{\sqrt{2}} \begin{bmatrix} 1 & 0 & 1 & 0 \\ 0 & 1 & 0 & 1 \\ 0 & 1 & 0 & -1 \\ 1 & 0 & -1 & 0 \end{bmatrix} \begin{bmatrix} |00\rangle \\ |01\rangle \\ |10\rangle \\ |11\rangle \end{bmatrix}$$

superdense coding

**超密编码** (Bennett 1992) Alice 和 Bob 分别持 EPR 对中的一个, Alice 想把 2 比特信息传给 Bob,

她只需: 若  $|00\rangle$  不动, 若  $|01\rangle$  做 X 门, 若  $|10\rangle$  做 Z 门, 若  $|11\rangle$  做  $ZX=iY$

然后她把手中的量子比特传给 Bob, Bob 做贝尔基测量即可

quantum teleportation

**量子传态** (Bennett 1993, 潘建伟 1997) 无需量子通信信道就可转移量子态 (需经典通讯, 故未超光速)

[ 以 EPR 对  $\frac{1}{\sqrt{2}}(|00\rangle+|11\rangle)$  为例, Alice 持有左边那个, Bob 持右边那个, Alice 想把  $|\psi\rangle=\alpha|0\rangle+\beta|1\rangle$  传给 Bob, 她把  $|\psi\rangle$  和粒子放一起做贝尔基测量(上方 2 根线), 然后通过经典通讯告诉 Bob 结果(双线), Bob 根据结果做相应操作可恢复  $|\psi\rangle$ : 若  $|00\rangle$  不动, 若  $|01\rangle$  做 X 门, 若  $|10\rangle$  做 Z 门, 若  $|11\rangle$  做  $ZX$  ]

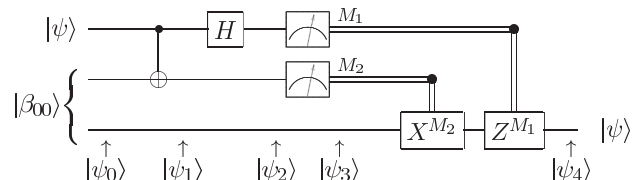
$$|\psi_0\rangle = \frac{1}{\sqrt{2}}(\alpha|0\rangle + \beta|1\rangle)(|00\rangle + |11\rangle)$$

$$|\psi_1\rangle = \frac{1}{\sqrt{2}}(\alpha|0\rangle(|00\rangle + |11\rangle) + \beta|1\rangle(|10\rangle + |01\rangle))$$

$$|\psi_2\rangle = \frac{1}{2}(\alpha(|0\rangle + |1\rangle)(|00\rangle + |11\rangle) + \beta(|0\rangle - |1\rangle)(|10\rangle + |01\rangle))$$

→ 测量导致坍缩, 按前 2 位重新分组 →

$$|\psi_3\rangle = \frac{1}{2}(|00\rangle(\alpha|0\rangle + \beta|1\rangle) + |01\rangle(\alpha|1\rangle + \beta|0\rangle) + |10\rangle(\alpha|0\rangle - \beta|1\rangle) + |11\rangle(\alpha|1\rangle - \beta|0\rangle))$$



**结论** 纠缠对是一种静态资源, 消耗一个 EPR 对加 2 经典比特通讯可实现 1 量子比特的传送

**注** 当 Alice 测量后, 未传经典消息前, Bob 端是 4 种量子态经典叠加, 可算得其  $\hat{\rho} = \frac{I}{2}$ , 故不含任何信息

Quantum Secret Sharing

**量子秘密共享** (Hillery 1999) ① Alice, Bob, Charlie 各持 GHZ 纠缠态的一个粒子 ② 三方随机选择在 x 或 y 方向做测量, 三方公布测量基 (B,C 先告诉 A, A 再公布所有) ③ Bob, Charlie 必须把它们的信息联合起来才能还原 Alice 的信息, 粒子利用效率为  $\frac{1}{2}$  (例如 A,B 测了 x, C 有  $\frac{1}{2}$  概率也测了 x, 则 C 知 A B 同或反, B C 一起才能推出 A)

## 量子计算

目前只有 3 类已知优于经典算法的量子算法:

hidden subgroup discrete logarithm factoring

① **量子傅氏变换** 隐含子群问题, 离散对数, 求阶 → 求因子 (肖氏算法 1994) → 攻破 RSA (指数加速)

unsorted database search

quadratic

② **量子搜索** 无序数据库搜索 (葛氏算法 1996) (仅为根号加速, 但应用比肖氏广泛)

simulation

③ **量子模拟** (费曼 1982) 所需资源随问题规模线性增加 (量子搜索可视为一种量子模拟问题的解)

counting

**量子计数** 结合了 ① ② 两者

## 量子并行

equal superposition

n 个 H 门同时作用的效果是 **均衡叠加**  $|0^n\rangle \xrightarrow{H^{\otimes n}} \frac{1}{\sqrt{2^n}} \sum_x |x\rangle$  设存在  $U_f$  作用是  $|x, y\rangle \xrightarrow{U_f} |y \oplus f(x)\rangle$ ,

对前 n 比特做 H 变换, 然后连接第 n+1 比特做  $U_f$ , 可同时计算出所有函数值

$$|0^n\rangle |0\rangle \xrightarrow{H^{\otimes n}, U_f} \frac{1}{\sqrt{2^n}} \sum_x |x\rangle |f(x)\rangle \quad (\text{此并行性不能直接利用, 因为一次测量只能坍出一个 } x)$$

## 量子傅变

离散傅氏变换是  $N=2^n$  个复数集合  $\{x_j\}$  到  $\{y_k\}$  的变换  $y_k = \frac{1}{\sqrt{N}} \sum_{j=0}^{N-1} e^{2\pi i j k / N} x_j$

设有幺正变换  $|j\rangle \xrightarrow{U} \frac{1}{\sqrt{N}} \sum_{k=0}^{N-1} e^{2\pi i j k / N} |k\rangle$ , 则  $\sum_{j=0}^{N-1} x_j |j\rangle \xrightarrow{U} \sum_{k=0}^{N-1} y_k |k\rangle$

把  $j$  写成二进制  $j=j_n \cdot j_{n-1} \dots j_1$ , 有量子傅氏变换的直积形式: (格里菲斯 1996)

$|j\rangle \rightarrow 2^{-n/2} (|0\rangle + e^{2\pi i 0 \cdot j_n} |1\rangle) (|0\rangle + e^{2\pi i 0 \cdot j_{n-1} j_n} |1\rangle) \dots (|0\rangle + e^{2\pi i 0 \cdot j_1 j_2 \dots j_n} |1\rangle)$

经典的 FFT 花  $N \lg(N) = n 2^n$  步, 量子傅氏变换用  $(\lg N)^2 = n^2$  步, 指数加速, 但计算结果不能直接利用

phase estimation

**相位估计** 设幺正算符  $U$  有一本征值为  $e^{2\pi i \varphi}$  的本征矢  $|u\rangle$ , 假定可以制备  $|u\rangle$ , 要估计  $\varphi$

Shor's algorithm

**肖氏算法** 解决的是求素因子问题: 给出合数  $N$ , 求其非平凡的素因子  $p \neq 1, N$ , 算法包括两部分:

① 传统部分 (以下记  $(a, b)$  为最大公约数)

① 任选数字  $a < N$ , 用经典算法 (如辗转相除法) 算  $(a, N)$ , 若  $\neq 1$  则已找到素因子  $a$

② 否则  $a$  与  $N$  互素, 问题化为求函数  $f(x) = a^x \bmod N$  的周期  $r$  (即  $f(x+r) = f(x)$ )

③ 若  $r$  是奇数, 换个  $a$  重来, 若  $a^{r/2} \equiv -1 \bmod N$  也要重来, 否则,  $(a^{r/2} \pm 1, N)$  就是  $N$  的素因子

**例** 分解  $N=14$ , 取  $a=3$ , 可验证  $3^0 \bmod 14 = 1, \dots, 3^6 \bmod 14 = 1$ , 故周期  $r=6$ , 是偶数,

$3^3 + 1 = 28, 3^3 - 1 = 26, (28, 14) = 7, (26, 14) = 2$ , 故得  $N = 7 \times 2$

② 量子部分

传统部分把问题化为了求周期  $f(x+r) = f(x), 0 < r < 2^L$ , 可用量子傅立叶变换实现加速:

① 需用到 1 个寄存器, 初态为  $|0\rangle$ , 和  $O(L)$  个量子比特的存储器, 初始化为  $|0\rangle$

② 对第一个寄存器应用  $H$  门等, 产生叠加态  $\frac{1}{\sqrt{2^t}} \sum_{x=0}^{2^t-1} |x\rangle |0\rangle$

③ 需用到一个执行运算  $U|x\rangle|y\rangle = |x\rangle|y \oplus f(x)\rangle$  的 **黑箱**  $U$ , ( $\oplus$  表示模 2 加法)

应用  $U$  得到态  $\frac{1}{\sqrt{2^t}} \sum_{x=0}^{2^t-1} |x\rangle |f(x)\rangle \approx \frac{1}{\sqrt{r 2^t}} \sum_{l=0}^{r-1} \sum_{x=0}^{2^t-1} e^{2\pi i l x / r} |x\rangle |F(l)\rangle$ , 其中  $|F(l)\rangle$  是  $|f(x)\rangle$  的傅立叶变换

$|F(l)\rangle = \frac{1}{\sqrt{r}} \sum_{x=1}^{r-1} e^{-2\pi i l x / r} |f(x)\rangle$  ④ 对第一个寄存器进行逆傅里叶变换  $\frac{1}{\sqrt{r}} \sum_{l=0}^{r-1} |\widetilde{l/r}\rangle |F(l)\rangle$

⑤ 测量第一个寄存器得到相位  $l/r$  的一个估计  $\widetilde{l/r}$  ( $l$  是随机选取的) ⑥ 用连分式算法得到  $r$

**例** 还以  $N=14$  为例,  $N^2=196$ , 需  $L=8, 2^L=256$

由于  $f(x)$  以 6 为周期, 傅变后很多项近似相消, 留下  $[m \frac{2^8}{6}]$ ,  $m=0, 1, \dots, 5$  这些项概率幅明显不为零  $\frac{2^8}{6} \approx 42.67$ , 故实验会得 43, 86, ... 等结果中的一个, 用连分式可还原出所渐进的分数  $\frac{256}{43} \approx 5.95 \approx 6$

## 量子搜索

Grover

**葛氏算法** 是一种无序数据库搜索算法, 通过一系列酉操作, 使要查找的态的振幅逐步放大到 1

设初态是  $|\beta\rangle$  (可推广到  $M$  个) 和其它各态  $|\alpha\rangle$  ( $(N-M)$  个) 的均衡叠加态  $|\psi\rangle = \frac{1}{\sqrt{N}} \sum |k\rangle$

$|\psi\rangle = \frac{1}{\sqrt{N}} \sum_{i \notin \beta} |i\rangle + \sqrt{\frac{M}{N}} |\beta\rangle \equiv \sqrt{\frac{N-M}{N}} |\alpha\rangle + \sqrt{\frac{M}{N}} |\beta\rangle \equiv \cos \frac{\theta}{2} |\alpha\rangle + \sin \frac{\theta}{2} |\beta\rangle$

inversion about mean

**均值反演运算**  $\hat{O} = 2|\psi\rangle\langle\psi| - I$  [因为  $\hat{O}(\sum c_k |k\rangle) = \sum (2\langle c\rangle - c_k) |k\rangle$ , 其中  $\langle c\rangle = \frac{1}{N} \sum c_k$ ]

oracle

设有一黑箱的作用是对要查找的态  $|\beta\rangle$  的振幅取反  $2|\beta\rangle\langle\beta|-I$

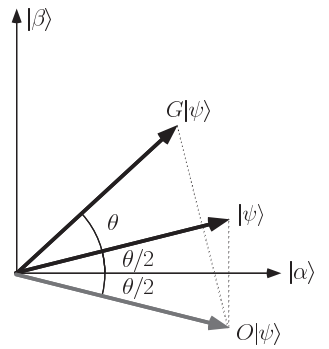
(物理上不知道  $|\beta\rangle$  在哪, 但数据库中可对其操作) 记  $n=\lceil \lg N \rceil$

一次 Grover 迭代包括: ①  $|\beta\rangle$  态振幅取反 (相当于把  $|\psi\rangle$  先对  $|\alpha\rangle$  反射)

② 应用 H 变换  $H^{\otimes n}$  ③  $|0\rangle$  态振幅取反 ④ 应用 H 变换  $H^{\otimes n}$

$H^{\otimes n}(2|0\rangle\langle 0|-I)H^{\otimes n}=2|\psi\rangle\langle\psi|-I$  (相当于再对  $|\psi\rangle$  反射), 最终转过了  $\theta$  角

$\lceil \sqrt{\frac{M}{N}} = \sin \frac{\theta}{2} \leq \frac{\theta}{2} \rceil$  迭代  $\lceil \frac{\arccos \sqrt{M/N}}{\theta} \rceil \leq \lceil \frac{\pi/2}{\theta} \rceil \leq \lceil \frac{\pi}{4} \sqrt{\frac{N}{M}} \rceil$  次可使  $|\psi\rangle$  最接近  $|\beta\rangle$ , 但最后不一定能和  $|\beta\rangle$  完全重合 (经典要  $\frac{N}{2}$  次)



phase matching

若修改第 ① ③ 步的取反为其它角度  $\varphi, \phi$ , 必须  $\varphi=\phi$  才可能成功, 即 **相位匹配** 条件 (龙桂鲁 1999)  
恰当地选择略小于  $\pi$  的角度可使最后结果刚好与  $|\beta\rangle$  重合

## 量子通讯

### Quantum Key Distribution

**量子密钥分发** 是一种用量子比特传输密钥的方案, 如果中间人想截获信息必然会引入干扰而被发现, 从而通讯双方可丢弃已被窃听的密钥重新传送

Bennett Brassard 1984

**BB84 协议** ① 随机生成  $(4+\delta)n$  比特数据用于密钥备选 ① Alice 随机使用  $z$  基 ( $|0\rangle, |1\rangle$ ) 或  $x$  基 ( $|+\rangle, |-\rangle$ ) 编码该比特串, 把量子比特发给 Bob (选基随机,  $\pm$  按 ①) ② Bob 随机使用  $z$  基或  $x$  基测量收到的量子比特, 记录本征态 ③ 双方公布用过的测量基, 丢弃所有测量基不一样的 (至少要剩下  $2n$  个, 否则重来) ④ 从  $2n$  中挑出  $n$  个做窃听检测, 公布挑了哪几个  $\rightarrow$  如果双方测量结果全一致, 则存在窃听的概率为  $(\frac{3}{4})^n$ , 剩下的  $n$  比特可作密钥

Bennett 1992

**B92 协议** ① Alice 随机生成的比特数据  $a$ , Bob 随机生成  $b$  ① Alice 按  $a$  发送两种不正交的态 (如光子偏振  $90^\circ, 45^\circ$ ) 序列的量子比特 ② Bob 按  $b$  在这两个态的垂直方向上 ( $0^\circ, -45^\circ$ ) 选基进行测量 ③ Bob 公布测量结果  $c$  (而非测量基  $b$ ), 双方保留  $c=1$  的测量结果 ④ 同理利用经典信道对比一部分结果来进行窃听检测  $\rightarrow a$  作 Alice 的密钥  $= (1-b)$  作 Bob 的密钥

(B92 的只使用 2 个状态, 但效率只有  $\frac{1}{4}$ , 省探测器费时间)

Ekert 1991

**E91 协议** ① 纠缠源发出 EPR 对分别被 Alice 和 Bob 接收 ① Alice 随机选用  $0^\circ, 45^\circ, 90^\circ$  角度的基测量, Bob 随机选用  $45^\circ, 90^\circ, 135^\circ$  ② 双方公布测量基, 并公布用了不同测量基的测量结果 (相同基的保密) ③ 用 CHSH 不等式做窃听检测 (Alice 取方向  $0^\circ, 90^\circ$ , Bob 取方向  $45^\circ, 135^\circ$ )  $\rightarrow$  窃听检测通过后, 相同基的测量结果可作密钥

**QKD 的缺点在于只能发现窃听而不能避免窃听  $\rightarrow$**

Quantum Secure Direct Communication

**量子安全直接通信** (龙桂鲁 2003) 是可以安全地直接传输讯息的方案

① Alice 制备  $m+n$  个 EPR 对, 都处于相同态, Alice 从每对中选一个粒子发给 Bob ② Bob 从他收到的  $m+n$  个粒子序列中随机选出  $n$  个, 随机用  $z$  基或  $x$  基测量, 公布其选了哪些、测量基和结果 ③ Alice 测自己手中对应的  $n$  个粒子, 如果结果完全关联则剩下  $m$  个是安全的, (即使发现被窃听, 此时还没有传信息) ④ Alice 按密集编码的方法把要传递的信息 (加入适量用于安全检测的随机编码) 编在  $m$  个量子比特中发给 Bob ⑤ Bob 对手中  $m$  对粒子做贝尔基测量读出信息, 此时 Alice 再告诉 Bob 哪些是安全检测编码 (第一次安全检测已保证 Eve 无法获得信息, 第二次是为了判断是否信息被 Eve 破坏)

## 量子纠错

(历史上, 机械计算机困难的关键问题就在于出错 **信息学** 量子机同理, 纠错码相当于垒鸡蛋的架子)

repetition code

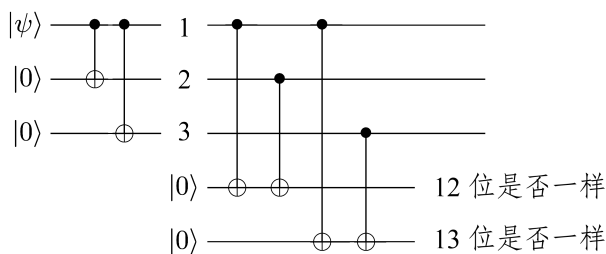
问题 ① 不可克隆, 回答: 实现 **重复码** 并非直积态 (实际上是纠缠态)



**例**  $|0\rangle \rightarrow |000\rangle, |1\rangle \rightarrow |111\rangle$ , 然后用 **多数判决** 解码

问题 ② 测量会破坏量子信息, 回答: **差错监测** 只指示出现了什么差错, 不揭示任何关于振幅  $a, b$  的信息

**例 辅助位联合测量** 可纠 1 个比特翻转错误

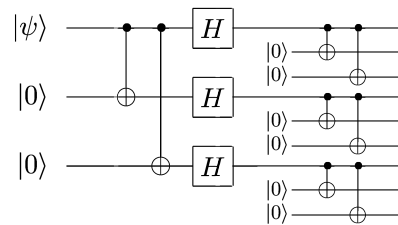


问题 ③ 差错是连续的, 无穷精度的, 回答:

Shor 码 (1995) 实现了 9 量子比特纠 1 量子比特任意错误

$|0\rangle \rightarrow |x_+\rangle^{\otimes 3} \rightarrow |\text{GHZ}_+\rangle^{\otimes 3}, |1\rangle \rightarrow |x_-\rangle^{\otimes 3} \rightarrow |\text{GHZ}_-\rangle^{\otimes 3}$

(第一步纠相位翻转, 第二步纠比特翻转)



quantum Hamming bound

**量子哈明界**  $2(1+3n) \leq 2^n \rightarrow n \geq 5$ , 对抗单量子比特任意差错至少需 5 比特编码 (但 7 比特更常用)

**消息**  $\vec{\alpha} = \alpha_{1 \sim k}$ , 记  $v(\alpha_{1 \sim k}) = \sum_i \alpha_i v_i$ , **生成矩阵**  $G = (v_{1 \sim k})^T$ , 要求列线性无关  $\rightarrow v(\vec{\alpha}) = \vec{\alpha} G$

**经典线性码** 记用  $n$  比特来编码  $k$  个比特信息的为  $[n, k, t]$  码, 最多能纠正  $t$  比特反转错误

$x$  为普通二进制序列的  $k$  行 1 列向量,  $G$  为  $n$  行  $k$  列, 记  $G(x) = (Gx) \bmod 2$

parity check matrix

**宇称校验矩阵**  $Hv = 0$ , 要求行线性无关  $\rightarrow HG^T = 0$ , 记出错为  $e$ , 有  $H(v+e) = He$

**定理**  $H$  的标准型为  $[A | I_{n-k}]$ , 相应  $G$  的标准型为  $\begin{bmatrix} I_k \\ -A \end{bmatrix}$  (对于  $\mathbb{Z}_2$  域  $-A = A$ )

效果:  $\forall y \equiv (Gx) \bmod 2$ , 使  $(Hy) \bmod 2 = 0$  (即无 error)

**例**  $[3, 1, 1]$  码  $G = \begin{bmatrix} 1 \\ 1 \\ 1 \end{bmatrix} \rightarrow G(0) = (0, 0, 0), G(1) = (1, 1, 1), H = \begin{bmatrix} 1 & 1 & 0 \\ 1 & 0 & 1 \end{bmatrix}$

Hamming

**哈明码** 是一类  $[2^r - 1, 2^r - r - 1]$  经典线性码, 如  $[7, 4, 3]$  码  $H_1 = \begin{bmatrix} 0 & 0 & 0 & 1 & 1 & 1 & 1 \\ 0 & 1 & 1 & 0 & 0 & 1 & 1 \\ 1 & 0 & 1 & 0 & 1 & 0 & 1 \end{bmatrix}, G_1 = \begin{bmatrix} 1 & 0 & 1 & 1 \\ 1 & 1 & 1 & 0 \\ 0 & 0 & 1 & 0 \\ 1 & 1 & 0 & 1 \\ 0 & 0 & 0 & 1 \\ 0 & 1 & 0 & 0 \\ 1 & 0 & 0 & 0 \end{bmatrix}$

Calderbank-Shor-Steane

**CSS 码** 用两套哈明码分别纠正比特翻转和相位翻转错误, ( $C_2 \subset C_1$ , 商群  $|C_1/C_2| = 2^{k_1 - k_2}$ )

CSS( $C_1, C_2$ ) 称为  $[[n, k_1 - k_2, t]]$  量子纠错码, 如 Steane 码是  $[[7, 1, 3]]$ , 纠正 1 量子比特的任何错误

$H_2 = \begin{bmatrix} 1 & 0 & 0 & 0 & 0 & 1 & 1 \\ 0 & 1 & 0 & 0 & 1 & 0 & 1 \\ 0 & 0 & 1 & 0 & 1 & 1 & 0 \\ 0 & 0 & 0 & 1 & 1 & 1 & 1 \end{bmatrix} = G_1^T$

stabilizer code

**稳定子码** 用生成元组来描述更方便

7 比特 Steane 码有 6 个生成元 (各列为不同比特上的操作, 张量积)

(要求: 含偶数个 1, 且满足  $H \cdot v = \begin{bmatrix} 0 \\ 0 \\ 0 \end{bmatrix} \bmod 2$ )

[用生成元推: 从  $|0000000\rangle$  开始, 测  $g_4$ , 则有可能得  $|0001111\rangle$ ]

$|0\rangle = \frac{1}{\sqrt{8}}(|0000000\rangle + |1010101\rangle + |0110011\rangle + |1100110\rangle + |0001111\rangle + |1011010\rangle + |0111100\rangle + |1101001\rangle)$

(逻辑  $|1\rangle$  态是对逻辑  $|0\rangle$  态的每个比特取反)

threshold theorem

**阈值定理** 如果量子噪声可降到某阈值以下, 则量子纠错码可继续使它无限下降 (代价是仅增加一点计算复杂度)

|       |     |     |     |     |     |     |     |
|-------|-----|-----|-----|-----|-----|-----|-----|
| $g_1$ | $I$ | $I$ | $I$ | $X$ | $X$ | $X$ | $X$ |
| $g_2$ | $I$ | $X$ | $X$ | $I$ | $I$ | $X$ | $X$ |
| $g_3$ | $X$ | $I$ | $X$ | $I$ | $X$ | $I$ | $X$ |
| $g_4$ | $I$ | $I$ | $I$ | $Z$ | $Z$ | $Z$ | $Z$ |
| $g_5$ | $I$ | $Z$ | $Z$ | $I$ | $I$ | $Z$ | $Z$ |
| $g_6$ | $Z$ | $I$ | $Z$ | $I$ | $Z$ | $I$ | $Z$ |